



Πολυτεχνείο Κρήτης
Σχολή ΗΜΜΥ
Τηλεπικοινωνιακά Συστήματα Ι
Παράδοση 3ης εργασίας
Ημερομηνία Παράδοσης: 20 Ιουνίου 2024
Μονάδες 130/1000

Ομάδα 25

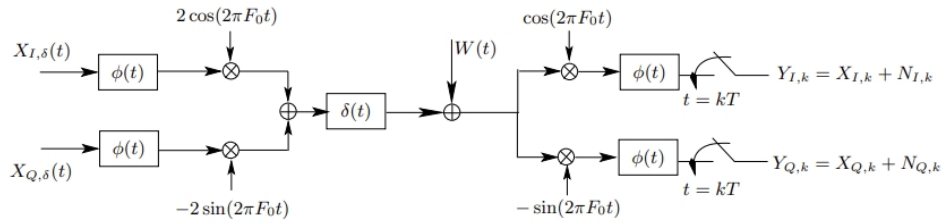
	Φοιτητής 1	Φοιτητής 2
Επώνυμο	Σιώτος	Αγγελόπουλος
Όνομα	Μόδεστος	Γιώργος
A.M.	2016030030	2016030083

Ώρες που απαιτήθηκαν για την υλοποίηση της άσκησης ≈ 15

Περιεχόμενα

A	Μέρος Α΄	3
A.1	Δημιουργία δυαδικής ακολουθίας	3
A.2	Συνάρτηση <i>bits_to_4_PAM</i>	4
A.3	Δημιουργία X_I, X_Q	4
A.4	Κυματομορφές εξόδου $X_I(t), X_Q(t)$	4
A.5	Δημιουργία $X_I^{mod}(t), X_Q^{mod}(t)$	7
A.6	Άθροισμα κυματομορφών $X_I^{mod}(t), X_Q^{mod}(t)$	9
A.7	Ιδανικό κανάλι	10
A.8	Προσθήκη Gaussian θορύβου	11
A.9	Ενθόρυβη Κυματομορφή	11
A.10	Πέρασμα κυματομορφών από προσαρμοσμένα φίλτρα	13
A.11	Χρήση της scatterplot	15
A.12	Δημιουργία συνάρτησης <i>Detect_4_PAM</i>	15
A.13	Σφάλματα απόφασης συμβόλου	16
A.14	Η συνάρτηση <i>PAM_4_to_bits</i>	17
A.15	Υπολογισμός σφαλμάτων	18
B	Πιθανότητα σφάλματος συμβόλου και bit	18

A Μέρος Α'



Σχήμα 1: Τηλεπικοινωνιακό σύστημα για προσομοίωση

A.1 Δημιουργία δυαδικής ακολουθίας

Αρχικά δημιουργούμε δυαδική ακολουθία με $4N$ ισοπίθανα *bits*, για $N = 200$.

```
1  %Omada 25
2
3  clear all;
4  close all;
5
6  %Data
7  %Askisi A
8  N = 200;
9  A = 1;
10 A_srrc = 4;
11 T = 0.01;
12 over = 10;
13 Ts = T/over;
14 a=0.5;
15
16 Fs=1/Ts;
17 Nf=2048;
18
19 %1
20
21 bit_seq = (sign(randn(4*N,1))+1)/2;
```

A.2 Συνάρτηση *bits_to_4_PAM*

Στο 2^ο βήμα συντάξαμε τη συνάρτηση *bits_to_4_PAM* η οποία, χρησιμοποιώντας κωδικοποίηση *Gray*, απεικονίζει τη δυαδική ακολουθία εισόδου *bit_seq* σε ακολουθία 4-*PAM* συμβόλων.

```
1 function [X] = bits_to_4_PAM(bit_seq,A)
2 j=1;
3 Z = [-3*A, -1*A, A , 3*A];
4 X=zeros(1,length(b)/2);
5 for i=1:2:length(b)
6 if(b(i)==0 && b(i+1)==0)
7 X(j) = Z(1);
8 elseif(b(i)==0 && b(i+1)==1)
9 X(j) = Z(2);
10 elseif(b(i)==1 && b(i+1)==1)
11 X(j) = Z(3);
12 elseif(b(i)==1 && b(i+1)==0)
13 X(j) = Z(4);
14 end
15 j=j+1;
16 end
17 end
```

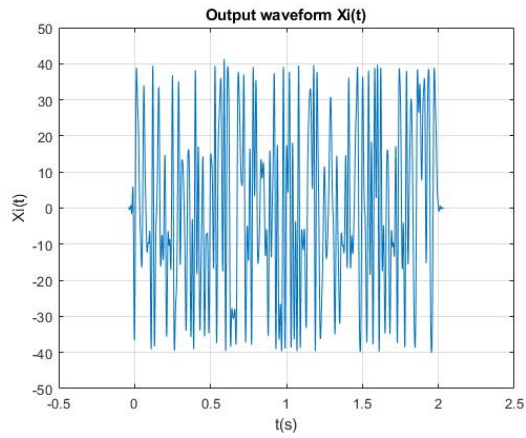
A.3 Δημιουργία X_I, X_Q

Στο 3^ο βήμα απεικονίσαμε τα πρώτα $2Nbits$ της ακολουθίας του βήματος 1 στα 4-*PAM* σύμβολα $X_{I,n}$, για $n = 1, \dots, N$, και τα επόμενα $2Nbits$ στα 4-*PAM* σύμβολα $X_{Q,n}$, για $n = 1, \dots, N$.

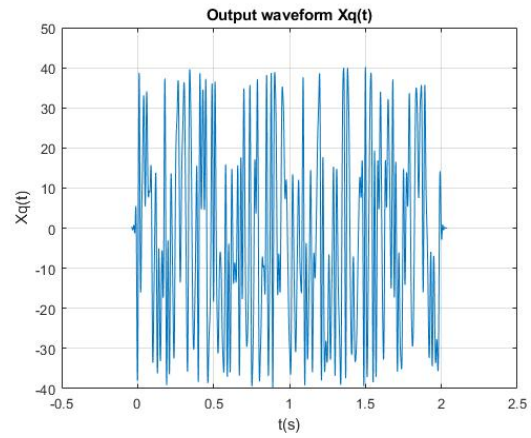
```
1 %2,3
2
3 b1 = bit_seq(1:2*N);
4 b2 = bit_seq(2*N + 1:4*N);
5
6 X_I = bits_to_4_PAM(b1, A);
7 X_Q = bits_to_4_PAM(b2, A);
```

A.4 Κυματομορφές εξόδου $X_I(t), X_Q(t)$

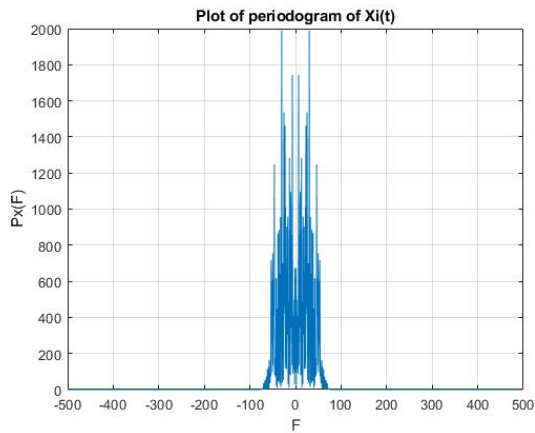
Έπειτα, φιλτράραμε τις ακολουθίες που δημιουργήσαμε στο προηγούμενο βήμα, με τη βοήθεια της γνωστής συνάρτησης *srrc_pulse* και παράχθηκαν στην έξοδο τα σήματα $X_I(t), X_Q(t)$. Χρησιμοποιήσαμε τις δοσμένες παραμέτρους $T = 0.01 \text{ sec}$, $over = 10$ και θέσαμε $A_{srrc} = 4, a = 0.5$. Επίσης πήραμε $Nf = 2048$.



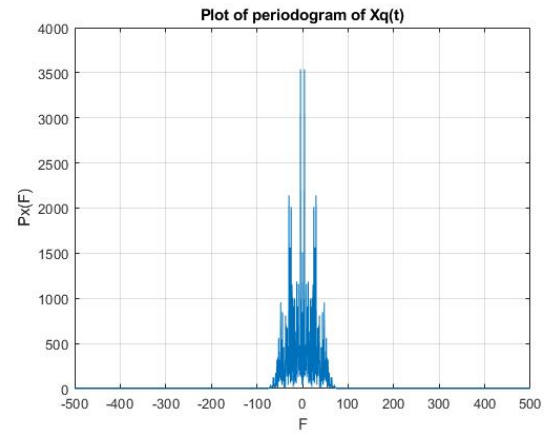
Σχήμα 2: Κυματομορφή $X_I(t)$



Σχήμα 3: Κυματομορφή $X_Q(t)$



Σχήμα 4: Περιοδόγραμμα $X_I(t)$



Σχήμα 5: Περιοδόγραμμα $X_Q(t)$

```

1  %4
2
3  f = (-Fs/2):(Fs/Nf):(Fs/2)-(Fs/Nf);
4
5  [phi,t1]=srrc_pulse(T, Ts, A_srrc, a);
6
7  %create signals
8  Xi_n = 1/Ts*upsample(X_I,over);
9  Xi_t = conv(Xi_n,phi)*Ts;
10

```

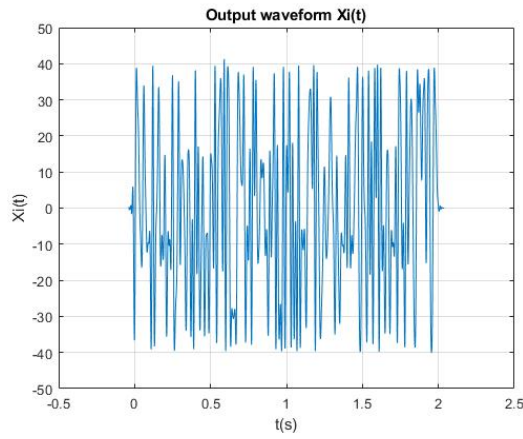
```

11 Xq_n = 1/Ts*upsample(X_Q,over);
12 Xq_t = conv(Xq_n,phi)*Ts;
13
14 %time vector
15 t2 = 0:Ts:N*T-Ts;
16 ti_conv = linspace(t1(1)+t2(1), t1(end)+t2(end),length(Xi_t));
17 tq_conv = linspace(t1(1)+t2(1), t1(end)+t2(end),length(Xq_t));
18
19 figure();
20 plot(ti_conv,Xi_t);
21 grid on;
22 title('Output waveform Xi(t)');
23 xlabel('t(s)');
24 ylabel('Xi(t)');
25
26 figure();
27 plot(tq_conv,Xq_t);
28 grid on;
29 title('Output waveform Xq(t)');
30 xlabel('t(s)');
31 ylabel('Xq(t)');
32
33 Ti_total = length(ti_conv)*T;
34 Tq_total = length(tq_conv)*T;
35
36 %PXF (from prev. assignment)
37
38 PXFi = ((abs(fftshift(fft(Xi_t,Nf)))).^2)*Ts)./Ti_total;
39 PXFq = ((abs(fftshift(fft(Xq_t,Nf)))).^2)*Ts)./Tq_total;
40
41 figure();
42 plot(f, PXFi);
43 title('Plot of periodogram of Xi(t)');
44 xlabel('F');
45 ylabel('Px(F)');
46 grid on;
47
48 figure();
49 plot(f, PXFq);
50 title('Plot of periodogram of Xq(t)');
51 xlabel('F');
52 ylabel('Px(F)')

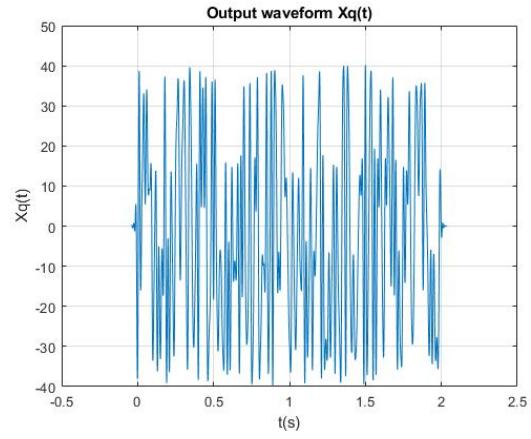
```

A.5 Δημιουργία $X_I^{mod}(t), X_Q^{mod}(t)$

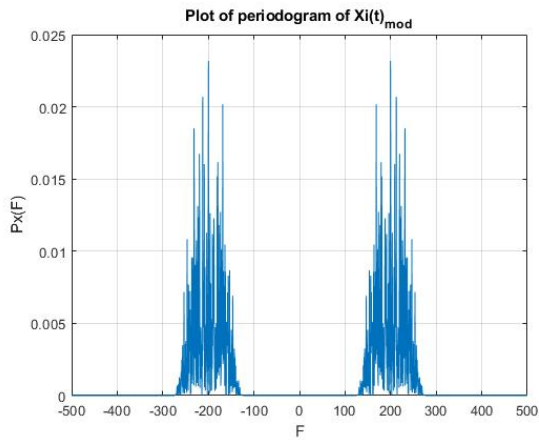
Για το συγκεκριμένο υποερώτημα, πολλαπλασιάζουμε τις κυματομορφές $X_I(t)$ και $X_Q(t)$ με τους φορείς που μας δίνονται στην εκφώνηση και δημιουργούμε τις κυματομορφές $X_I^{mod}(t), X_Q^{mod}(t)$ για $F_0 = 200\text{Hz}$. Ακολούθως σχεδιάστηκαν οι κυματομορφές και τα περιοδογράμματα των σημάτων όπως στο προηγούμενο ερώτημα.



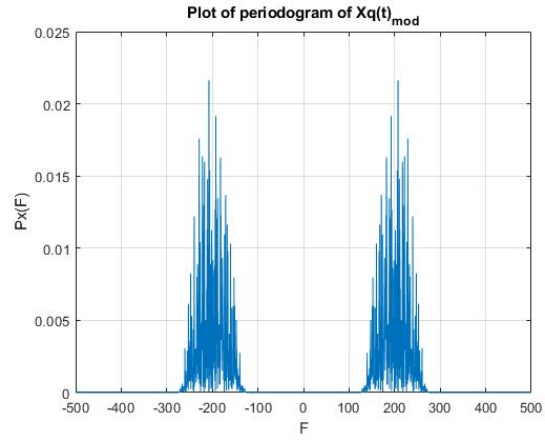
Σχήμα 6: Κυματομορφή X_I^{mod}



Σχήμα 7: Κυματομορφή X_Q^{mod}



Σχήμα 8: Περιοδόγραμμα X_I^{mod}



Σχήμα 9: Περιοδόγραμμα X_Q^{mod}

```

1  %5
2
3  F0 = 200;
4
5  Xi_mod_t = 2*Xi_t.*cos(2*pi*F0*ti_conv)*Ts;
6  Xq_mod_t = -2*Xq_t.*sin(2*pi*F0*tq_conv)*Ts;
7
8  figure();
9  plot(ti_conv,Xi_mod_t);
10 grid on;
11 title('Xi(t) multiplied with 2cos(2piFot)');
12 xlabel('t(s)');
13 ylabel('Xi(t)');
14
15 figure();
16 plot(tq_conv,Xq_mod_t);
17 grid on;
18 title('Xq(t) multiplied with -2sin(2piFot)');
19 xlabel('t(s)');
20 ylabel('Xq(t)');
21
22 T_total_i=length(Xi_mod_t)*Ts; %
23 T_total_q=length(Xq_mod_t)*Ts; %
24
25 PXFimod = ((abs(fftshift(fft(Xi_mod_t,Nf))).^2)*Ts)./T_total_i;
26 PXFqmod = ((abs(fftshift(fft(Xq_mod_t,Nf))).^2)*Ts)./T_total_q;
27
28 figure();
29 plot(f, PXFimod);
30 title('Plot of periodogram of Xi(t)_m_o_d');
31 xlabel('F');
32 ylabel('Px(F)')
33 grid on;
34
35 figure();
36 plot(f, PXFqmod);
37 title('Plot of periodogram of Xq(t)_m_o_d');
38 xlabel('F');
39 ylabel('Px(F)')
40 grid on;

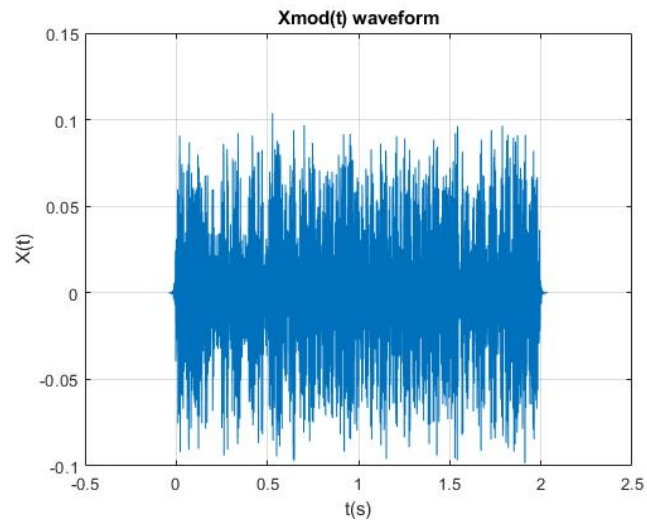
```


Παρατηρούμε ότι το φάσμα έχει μετακινηθεί γύρω από τη συχνότητα $F_0 = 200Hz$ του φορέα, όπως ήταν αναμενόμενο.

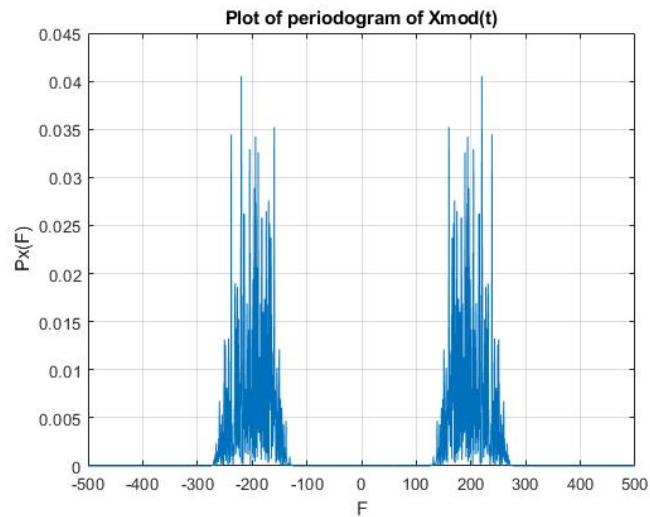
A.6 Άθροισμα κυματομορφών $X_I^{mod}(t), X_Q^{mod}(t)$

Κατόπιν, μας ζητήθηκε να σχηματίσουμε και να σχεδιάσουμε την είσοδο:

$$X^{mod}(t) = X_I^{mod}(t) + X_Q^{mod}(t)$$



Σχήμα 10: Κυματομορφή $X^{mod}(t)$



Σχήμα 11: Περιοδόγραμμα $X^{mod}(t)$

```

1  %6
2
3  X_t_mod = Xi_mod_t + Xq_mod_t;
4
5  figure();
6  %ti_conv=tq_conv
7  plot(ti_conv,X_t_mod);
8  grid on;
9  title('Xmod(t) waveform');
10 xlabel('t(s)');
11 ylabel('X(t)');
12
13
14 T_total=length(X_t_mod)*Ts;
15 PXFmodTotal = ((abs(fftshift(fft(X_t_mod,Nf))).^2)*Ts)./T_total;
16
17
18 figure();
19 plot(f, PXFmodTotal);
20 title('Plot of periodogram of Xmod(t)');
21 xlabel('F');
22 ylabel('Px(F)');
23 grid on;

```

Και εδώ, το φάσμα είναι μετατοπισμένο γύρω από τη συχνότητα $F_0 = 200\text{Hz}$ και η κυματομορφή είναι πιο πυκνή, όπως είναι λογικό, αφού το $X^{mod}(t)$ αποτελεί το άθροισμα των $X_I^{mod}(t)$, $X_Q^{mod}(t)$

A.7 Ιδανικό κανάλι

Θεωρούμε ότι το κανάλι είναι ιδανικό.

A.8 Προσθήκη Gaussian θορύβου

Στην έξοδο του καναλιού προσθέτουμε λευκό Gaussian θόρυβο $W(t)$ με διασπορά ίση με

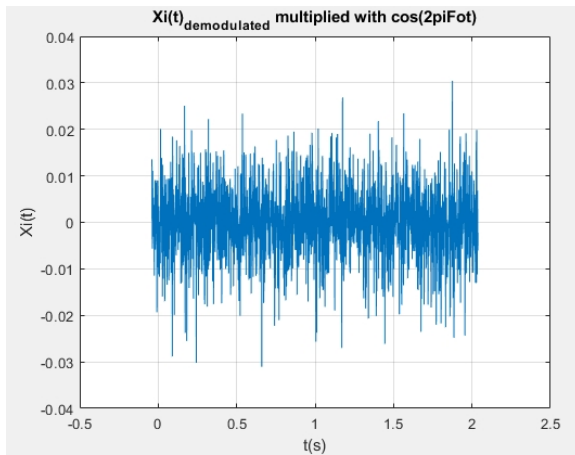
$$\sigma_W^2 = \frac{10A^2}{T_s \cdot 10^{\frac{SNR_{dB}}{10}}}$$

Πήραμε $SNR_{db} = 20$.

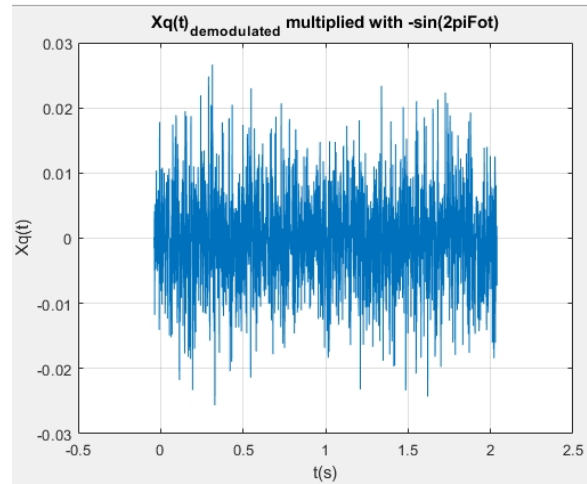
```
1 %8
2
3 SNR = 20;
4 var_w = 10*(A^2)/(Ts*10^(SNR/10));
5 noise = sqrt(var_w)*randn(1,length(X_t_mod));
6 X_mod_noise = X_t_mod + noise;
```

A.9 Ενθόρυβη Κυματομορφή

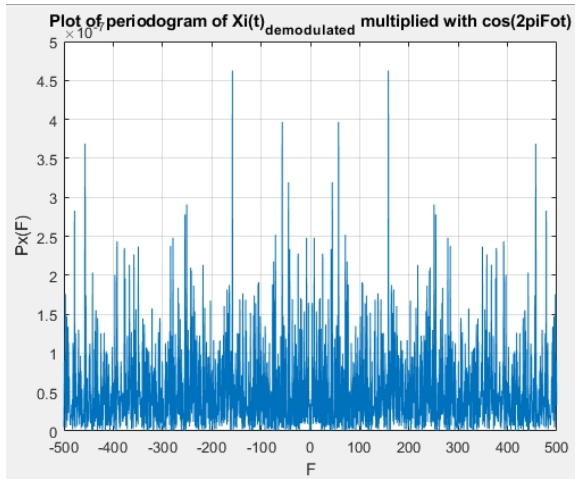
Έπειτα, διακλαδώσαμε την ενθόρυβη κυματομορφή και την πολλαπλασιάσαμε με φορείς $\cos(2\pi F_0 t)$ και $-\sin(2\pi F_0 t)$.



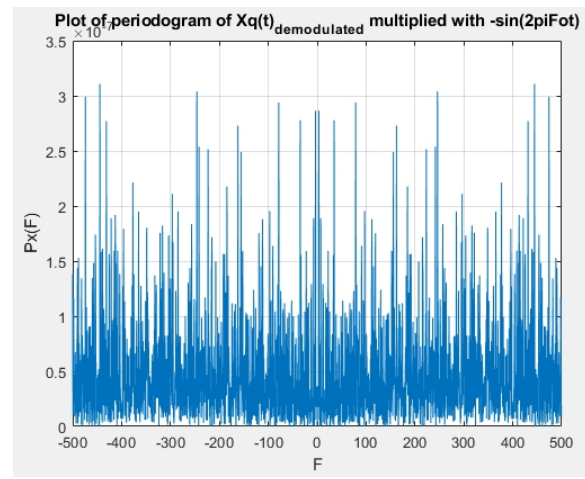
Σχήμα 12: Κυματομορφή X_{i_demod}



Σχήμα 13: Κυματομορφή X_{q_demod}



Σχήμα 14: Περιοδόγραμμα $P_x F_i$



Σχήμα 15: Περιοδόγραμμα $P_x F_q$

```

1  %9
2
3  Xi_demod = X_mod_noise.*cos(2*pi*F0*ti_conv)*Ts;
4  Xq_demod = X_mod_noise.*(-1*sin(2*pi*F0*tq_conv))*Ts;
5
6  figure();
7  plot(ti_conv,Xi_demod);
8  grid on;
9  title('Xi(t)_d_e_m_o_d_u_l_a_t_e_d multiplied with cos(2piFot)');
10 xlabel('t(s)');
11 ylabel('Xi(t)');
12
13 figure();
14 plot(tq_conv,Xq_demod);
15 grid on;
16 title('Xq(t)_d_e_m_o_d_u_l_a_t_e_d multiplied with -sin(2piFot)');
17 ;
18 xlabel('t(s)');
19 ylabel('Xq(t)');
20
21 T_total_i=length(Xi_demod)*Ts;
22 XF_i=fftshift(fft(Xi_demod,Nf))*Ts;
23 PxF_i=(abs(XF_i).^2)/T_total_i
24
25 T_total_q=length(Xq_demod)*Ts;
26 XF_q=fftshift(fft(Xq_demod,Nf))*Ts;
27 PxF_q=(abs(XF_q).^2)/T_total_q

```

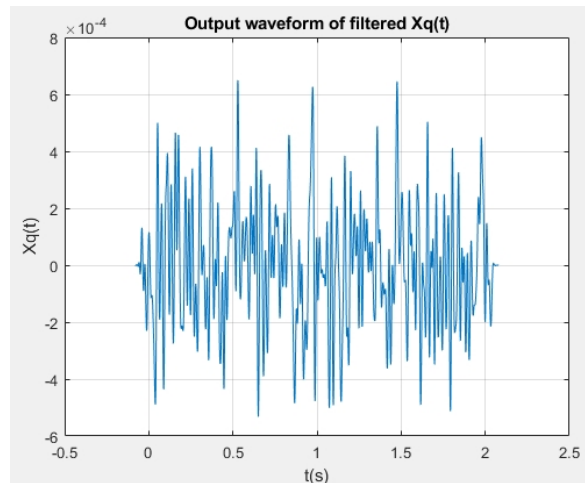
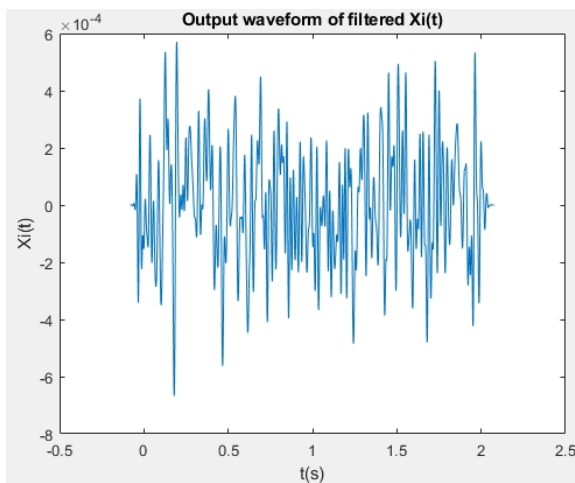
```

27
28
29 figure();
30 plot(f, PxF_i);
31 title('Plot of periodogram of Xi(t)_d_e_m_o_d_u_l_a_t_e_d
      multiplied with cos(2piFot)');
32 xlabel('F');
33 ylabel('Px(F)')
34 grid on;
35
36 figure();
37 plot(f, PxF_q);
38 title('Plot of periodogram of Xq(t)_d_e_m_o_d_u_l_a_t_e_d
      multiplied with -sin(2piFot)');
39 xlabel('F');
40 ylabel('Px(F)')
41 grid on;

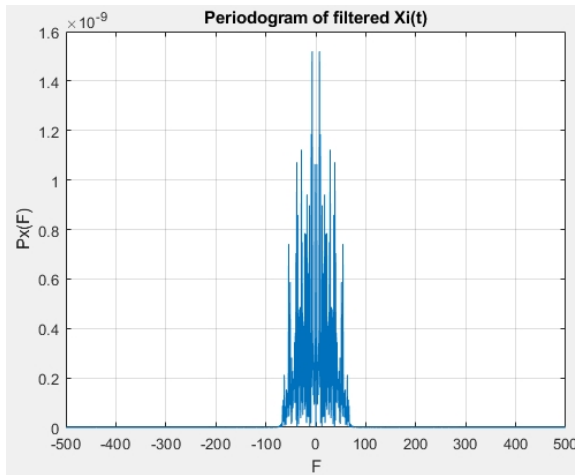
```

A.10 Πέρασμα κυματομορφών από προσαρμοσμένα φίλτρα

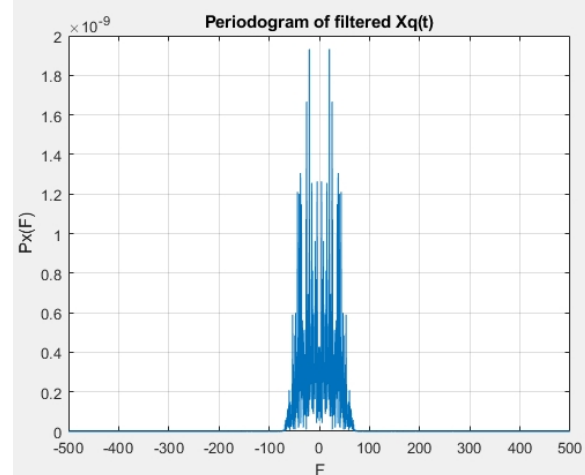
Περάσαμε τις κυματομορφές που υπολογίσαμε στο προηγούμενο βήμα από τα προσαρμοσμένα φίλτρα.



Σχήμα 16: Κυματομορφή φιλτραρισμένου $X_i(t)$ Σχήμα 17: Κυματομορφή φιλτραρισμένου $X_q(t)$



Σχήμα 18: Περιοδόγραμμα φιλτραρισμένου $X_i(t)$



Σχήμα 19: Περιοδόγραμμα φιλτραρισμένου $X_q(t)$

```

1  %10
2  Xi_demod = conv(Xi_demod,phi)*Ts;
3  Xq_demod = conv(Xq_demod,phi)*Ts;
4
5  t_conv2 = min(ti_conv)+min(t1):Ts:max(t1)+max(ti_conv)
6  f = -Fs/2:Fs/Nf:Fs/2-Fs/Nf;
7
8  figure()
9  plot(t_conv2,Xi_demod)
10 title('Output waveform of filtered Xi(t)');
11 xlabel('t(s)');
12 ylabel('Xi(t)');
13
14 figure()
15 plot(t_conv2,Xq_demod);
16 grid on;
17 title('Output waveform of filtered Xq(t)');
18 xlabel('t(s)');
19 ylabel('Xq(t)');
20
21 T_total_i=length(Xi_demod)*Ts;
22 XF_i=fftshift(fft(Xi_demod,Nf))*Ts;
23 PxF_i=(abs(XF_i).^2)/T_total_i
24
25 T_total_q=length(Xq_demod)*Ts;
26 XF_q=fftshift(fft(Xq_demod,Nf))*Ts;

```

```

27 PxF_q=(abs(XF_q).^2)/T_total_q
28
29
30 figure();
31 plot(f, PxF_i);
32 title('Periodogram of filtered Xi(t)');
33 xlabel('F');
34 ylabel('Px(F)');
35 grid on;
36
37 figure();
38 plot(f, PxF_q);
39 title('Periodogram of filtered Xq(t)');
40 xlabel('F');
41 ylabel('Px(F)');
42 grid on;

```

A.11 Χρήση της scatterplot

```

1 %11
2
3 timesteps_for_sample_i = (2*A*T/Ts)+1 : over : length(Xi_demod)
   -(2*A*T/Ts);
4 timesteps_for_sample_q = (2*A*T/Ts)+1 : over : length(Xq_demod)
   -(2*A*T/Ts);
5
6 W_cos_sampled = Xi_demod(timesteps_for_sample_i);
7 W_sin_sampled = Xq_demod(timesteps_for_sample_q);
8
9 for i=1:N
10 Samples(i,1)=W_cos_sampled(i);
11 Samples(i,2)=W_sin_sampled(i);
12 end
13
14 scatterplot(Samples)

```

A.12 Δημιουργία συνάρτησης *Detect_4_PAM*

Για την *Detect_4_PAM*, αρχικοποιήσαμε έναν πίνακα με τα σύμβολα (4 αφού έχουμε 4PAM), και την τελική *est_X* με μηδενικά, ένα για κάθε δείγμα της *Y*. Τέλος, για κάθε δείγμα της *Y*, υπολογίζουμε τις αποστάσεις από κάθε σύμβολο και επιλέγουμε το σύμβολο που έχει την ελάχιστη

απόσταση από το δείγμα ως το πιο σωστό σύμβολο με την βοήθεια του *min_distance_symbol*, σύμφωνα με τον κανόνα του εγγύτερου γείτονα.

```
1 %12
2
3 for i=1:N
4 X_I_possible(i) = detect_4_PAM(W_cos_sampled(i),A);
5 X_Q_possible(i) = detect_4_PAM(W_sin_sampled(i),A);
6 end
```

```
1 function est_X = detect_4_PAM(Y,A)
2
3 possible_symbols = [-3*A, -A, A, 3*A];
4
5 est_X = zeros(size(Y));
6 for i = 1:length(Y)
7 [~, min_distance_symbol] = min(abs(Y(i) - possible_symbols));
8 est_X(i) = possible_symbols(min_distance_symbol);
9 end
10 end
```

A.13 Σφάλματα απόφασης συμβόλου

Χρησιμοποιώντας τις ακολουθίες εισόδου και τις αποφάσεις που πήραμε από το πάνω ερώτημα, τα βάλουμε σε πίνακες και με ένα *forloop* ξεκινήσαμε να συγκρίνουμε ένα προς ένα τις ακολουθίες με τις αποφάσεις. Όπου ήτανε διαφορετικές, αυξάνουμε έναν *errorcounter* κατά 1. Σύνολο βρήκαμε 189 191 λάθη. Παρακάτω είναι ο κώδικας.

```
1 %13
2
3 errors_13 = 0;
4 actual_symbols = [X_I ; X_Q];
5 possible_symbols = [X_I_possible ; X_Q_possible];
6
7 for i=1:N
8 if((actual_symbols(1, i) ~= possible_symbols(1, i)) || (
9     actual_symbols(2, i) ~= possible_symbols(2, i)))
10 errors_13 = errors_13 + 1;
11 end
12 end
13 fprintf('Total errors for Task 13: %d\n', errors_13);
```


A.14 Η συνάρτηση *PAM_4_to_bits*

Για την *PAM_4_to_bits*, σε ένα *for loop*, ανάλογα αν το X είναι $[-3A, -A, A, 3A]$, βάζουμε τις σωστές τιμές *bit* (0 ή 1) στα επόμενα δύο *est_bit*, και αυξάνουμε τον *counter* μέχρι να εξαντληθεί το X .

```
1 function [est_bit] = PAM_4_to_bits(X,A)
2 i=1;
3 for i=1:length(X)
4
5     if(X(i)== -3*A)
6         est_bit(i)=0;
7         est_bit(i+1)=0;
8
9     elseif(X(i)== -A)
10        est_bit(i)=0;
11        est_bit(i+1)=1;
12
13    elseif(X(i)== A)
14        est_bit(i)=1;
15        est_bit(i+1)=1;
16
17    elseif(X(i)== 3*A)
18        est_bit(i)=1;
19        est_bit(i+1)=0;
20    end
21    i=i+2;
22 end
23 end
```

A.15 Υπολογισμός σφαλμάτων

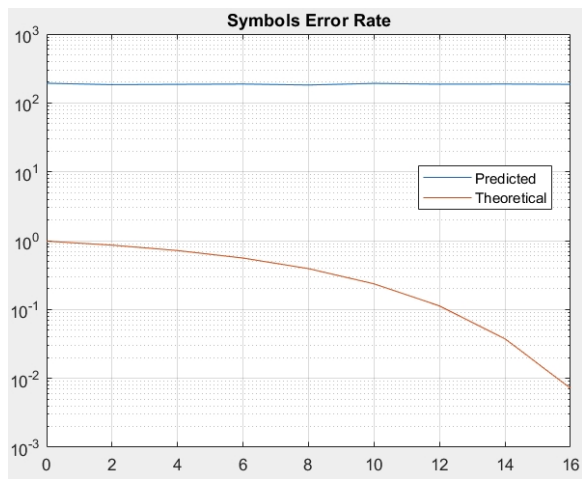
Αφού περάσαμε τα εκτιμώμενα σύμβολα της *inphase* και *quadrature* από την προηγούμενη *function*, βγάλαμε μια εκτιμώμενη *bit sequence*, την οποία συγκρίναμε σημείο προς σημείο με την *bit sequence* στην αρχή της άσκησης. Κάθε φορά που είναι διαφορετικά, αυξάνουμε έναν *error counter* κατά 1. Βρήκαμε περίπου 205 207 *errors*.

```
1 %15
2
3 errors_15 = 0;
4 iBits=PAM_4_to_bits(X_I_possible,A);
5 qBits=PAM_4_to_bits(X_Q_possible,A);
6 bit_est =[iBits qBits];
7
8 for i=1:length(bit_est)
9     if (bit_est(i) ~= bit_seq(i))
10 errors_15 = errors_15 +1;
11 end
12 end
13
14 fprintf('Total errors for Task 15: %d\n', errors_15);
```

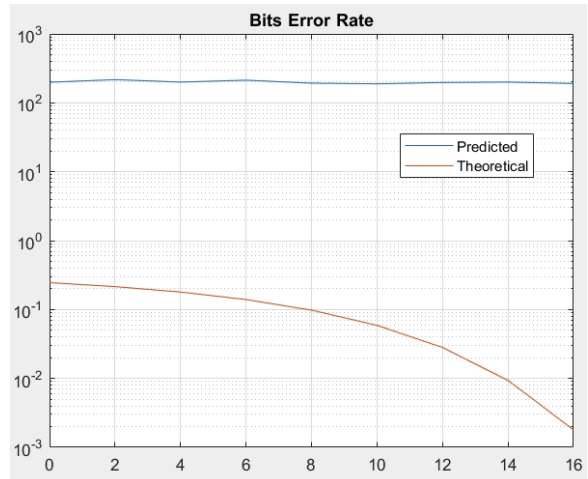
B Πιθανότητα σφάλματος συμβόλου και bit

Στο 2ο βήμα, υπολογίζουμε την πιθανότητα σφάλματος συμβόλου και *bit* με τη μέθοδο *Monte Carlo*. Για *SNR* [0 : 2 : 16] υπολογίσαμε από την αρχή το Α μέρος $K = 200$ φορές και σώσαμε τις τιμές των *predicted errors* από τα ερωτήματα 13 και 15 σε πίνακες *Esymbols_per_SNR* και *Ebits_per_SNR* αντίστοιχα. Έπειτα δημιουργήσαμε δύο ίδιους πίνακες αλλά με *theor* στο τέλος για να υπολογίσουμε τα θεωρητικά *error rates* με την βοήθεια μιας μικρής συνάρτησης. Οι θεωρητικές τιμές υπολογίστηκαν ως εξής:

```
1 function y = 0.5 * erfc(x / sqrt(2));
2 Esymbols_per_SNR_theor(th) = 3*Q(sqrt(0.2.*(10.^(SNR/10))));
3 Ebits_per_SNR_theor(th) = Esymbols_per_SNR_theor(th)./4;
```



Σχήμα 20: Κυματομορφή σφάλματος συμβόλου



Σχήμα 21: Κυματομορφή σφάλματος *bits*